

(その2) 水平およびねじり荷重に対する挙動について

本四連絡橋公団 正員 吉田 嶽、正員○多田浩彦
 住友金属 中研 正員 士豊 秀、正員 山川純雄
 " " 坂本 傑

1. まえがき

一般に多柱基礎はケーソン基礎を剛構造とすれば柔構造と呼ばれているごとく、水平方向の荷重に対する変形が大きいのが特徴である。したがって多柱基礎の合理的設計を行なうためには水平荷重やねじりに対する挙動を正しく把握する必要がある。かかる観点より(その1)に示した模型(あるいは原形)について、水平対称、水平逆対称載荷試験および構造解析を実施し、柱の荷重分担率や頂板の変形状態に及ぼす頂板剛性および地盤ばね定数の影響について検討を行なつたのでその概略を報告する。

なお、水平荷重は図1に示すように柱 P_2 の頂板中立軸の高さから載荷した。支持条件は(その1)と同一である。

2. 水平対称載荷時の挙動

2. 1. 水平荷重分担率(μ_{Hij})

水平荷重分担率は図1に示したとおり、最大値が約1.3~1.4で鉛直荷重分担率に較べかなり均一である。ただ、実験値と計算値の間には差が認められるが、これは模型のばね部の滑りや実験値は柱のせん断応力から間接的に次式より求めたために生じた誤差と考えられる。

$$\mu_{Hij} = \frac{\tau_{ij}}{\frac{1}{9}H} = \frac{\frac{1}{9}\tau_{ij}}{\frac{g^2}{l^2}\tau_{ij}}$$

ここに Q_{ij} ; 柱 i,j に作用する水平せん断力

H ; 水平外力の総和

τ_{ij} ; Q_{ij} による柱の荷重方向のせん断応力

なお、モデルI、IIは頂板の水平曲げ剛性($I_y/I_{yo} = 0.1, 0.2; I_{yo} = I_{xo}$)その他の部材断面諸量および、地盤ばね定数が原形と相似で

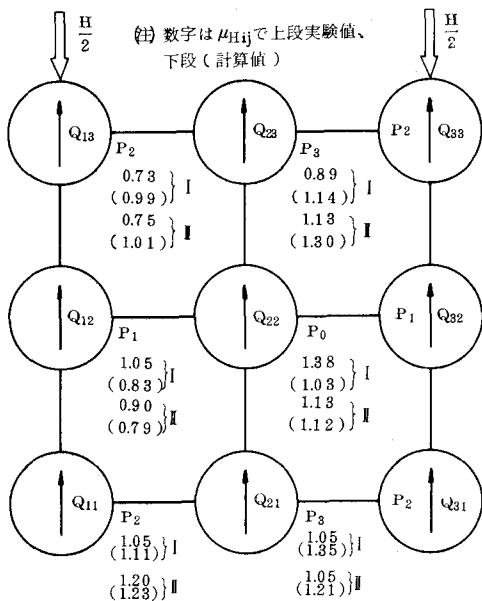


図1 水平荷重分担率の実験値と計算値

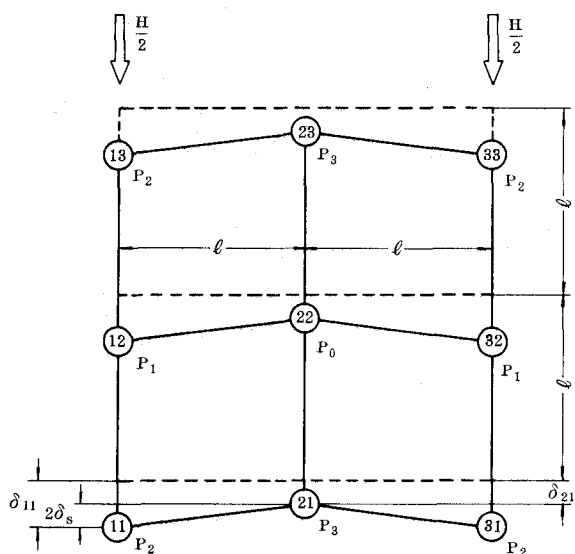


図5 水平対称荷重による頂板の変形状態

ないので μ_{Hij} の実験値は原形のそれとは一致しない。

つぎに、水平荷重分担率に及ぼす頂板の曲げ剛性および地盤の回転ばね定数の影響を計算により検討した結果を図 2～4 に示す。この計算条件は $K_H = K_\varphi = \infty$ 、また変数以外の諸量はすべて原形と相似（縮尺率 1/20）とした。これらの結果を要約すると以下のとおりである。

- (1) 頂板の水平曲げ剛性比が $I_y/I_{yo} > 0.5$ では水平荷重分担率はほとんど変化しない。原形はこの領域にあり、そのときの柱の水平荷重分担率は 0.8～1.4 の間にある。
- (2) 地盤の回転ばね定数が水平荷重分担率に及ぼす影響は非常に小さく、無視しうる。（鉛直荷重分担率に対しても無視しうる）

- (3) 水平荷重の作用方向（橋軸方向と橋軸直角方向）の影響も非常に小さい。

2. 2. 頂板の変形状態

水平対称荷重が作用した場合の水平変位は併進変位 δ_p とせん断変位 δ_s に分解される。たとえば図 5 の柱 11 と柱 21 の柱頭水平変位について表示すると、

$$\delta_p = \frac{\delta_{11} + \delta_{21}}{2}, \quad \delta_s = \frac{\delta_{11} - \delta_{21}}{2} \quad \dots \dots \dots (1)$$

図 2 には変位 δ_{11} , δ_{21} と頂板剛性比の関係が示されているが、これより頂板の水平曲げ剛性を大にすればせん断変位 δ_s は小さくなるが、併進変位 δ_p はほとんど変化しないことがわかる。他方図 3, 4 より明らかのように地盤の回転ばね定数が大になると併進変位が減少する。また図 3 と 4 を比較すると、荷重の大きさの違いを考慮しても、水平力が橋軸方向に作用した場合よりも橋軸直角方向に作用

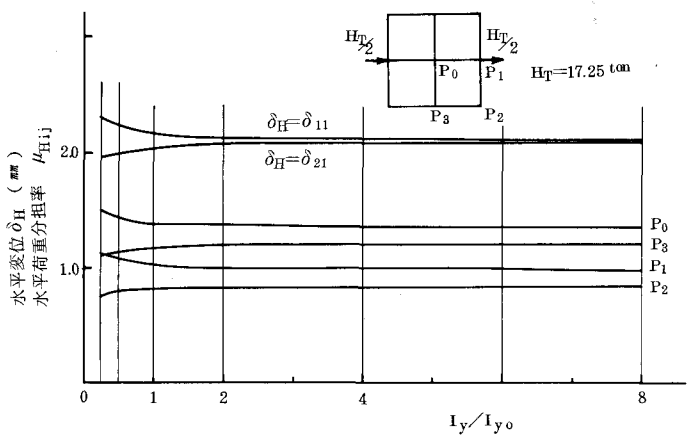


図 2 頂板の水平曲げ剛性と水平荷重分担率

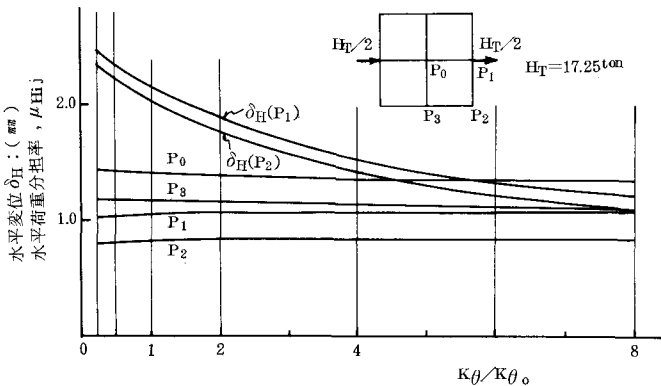


図 3 地盤回転ばね定数と水平荷重分担率

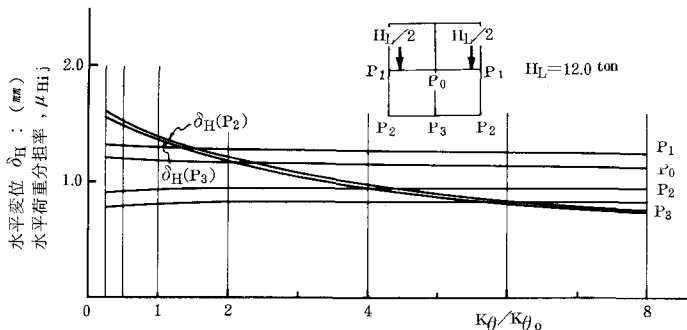


図 4 地盤回転ばね定数と水平荷重分担率

した場合の方が
頂板のせん断変
位が大きい。

3. 水平逆対称載 荷時の挙動

3.1. 柱のねじ りモーメント分 担率

多柱基礎に非対称水平荷重が作用した場合の挙動は対称成分と逆対称成分に分解でき、逆対称成分はねじりモーメントを与えることとなる。このような水平逆対称荷重が基礎に作用すると頂板はせん断変形と回転変形を起す。この頂板の変形を起させる力は図 6～8 に示すとおりでねじりモーメントの釣合は次式で表わされる。

$$M_T = 2H\ell = 2\ell(Q_x + Q_y) + \bar{m} \quad \dots\dots (2)$$

式(2)の右辺第1項は柱の曲げ剛性で担われるねじりモーメントの成分で、第2項は柱各々が受けもつねじりモーメントの総和、すなわち、
 $\bar{m} = \sum_i^9 m_i$ である。頂板の剛性とくに水平曲げ剛性 (EI_y) を大にすると第1項が大きくなり第2項すなわち柱各々に作用するねじりモーメントが小さくなる（但し零にはならない）。モデルⅠ、Ⅱの場合、第1項の M_T に対する割合は、それぞれ 60%、63% である。

つぎに第2項の柱各々のねじりモーメント m_i は柱の位置によって異なる。ねじりモーメント分担率を

$$\mu_{Ti} = \frac{m_i}{\bar{m}} \quad \dots\dots (3)$$

と定義して求めた結果を図 8 中に示した。これから明らかなように最大の μ_{Ti} は柱 P_3 に現われる。また μ_{Ti} は頂板剛性（とくに水平面曲げ剛性）を大にすれば均一化されることがわかる。なお μ_{Ti} の実験値は柱のせん断応力から求めた。

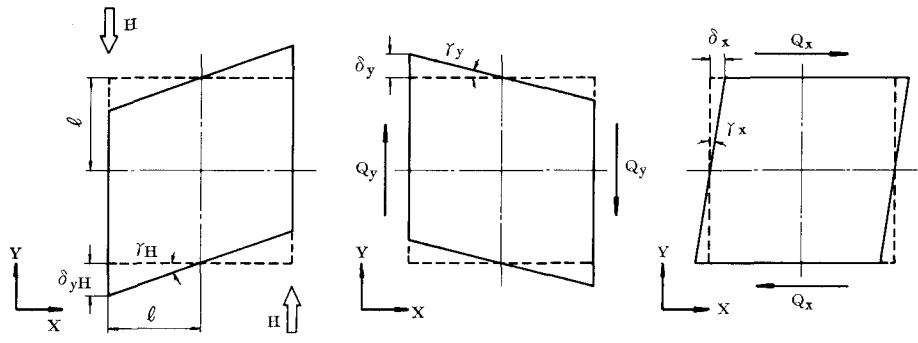


図 6 せん断変形

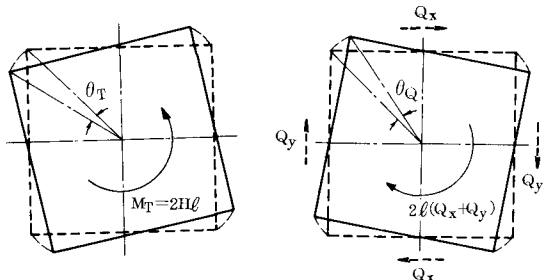


図 7 回転変形

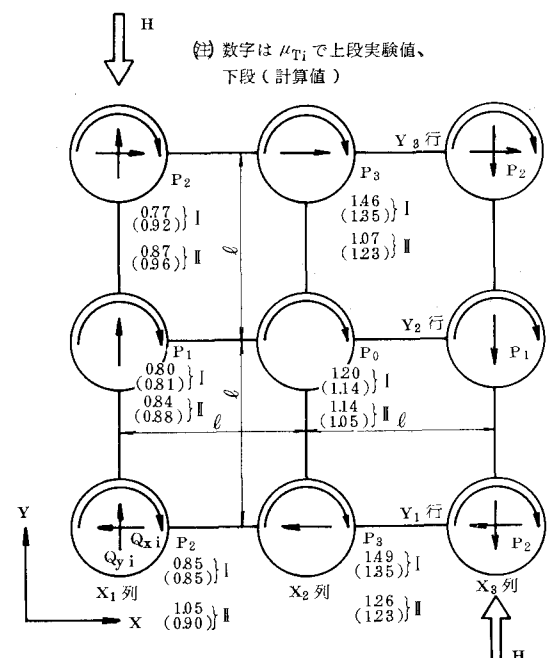


図 8 水平逆対称載荷時の頂板水平面内の力の均合

3.2. 頂板の変形状態

頂板の変形は図6、7のせん断変形と回転変形の重複されたもので最終的変形状態は図9の実線のようにになる。図9の各節点(0~3)のX、Y方向の変位 u_i, v_i は次式で与えられる。

$$\left. \begin{array}{ll} \text{節点 } 0 \text{ (柱 } P_0 \text{)} & u_0 = 0, \quad v_0 = 0 \\ \text{“ } 1 \text{ (“ } P_1 \text{)} & u_1 = 0, \quad v_1 = \ell\theta_1 = \ell(\theta + \gamma - \gamma_x) \\ \text{“ } 2 \text{ (“ } P_2 \text{)} & u_2 = \ell\theta_3 = \ell(\theta - \gamma_x), \quad v_2 = \ell\theta_1 = \ell(\theta + \gamma - \gamma_x) \\ \text{“ } 3 \text{ (“ } P_3 \text{)} & u_3 = \ell\theta_3 = \ell(\theta - \gamma_x), \quad v_3 = 0 \end{array} \right\} \quad (4)$$

ここで、 γ は頂板のせん断変形角で、図6から明らかなように

$$\gamma = r_H - (\gamma_y - \gamma_x) \quad \dots \dots \dots (5)$$

である。式(5)は式(4)より、

$$\gamma = (v_2 - u_2)/2 \quad \dots \dots \dots (6)$$

と表わすことができる。他方頂板の回転角は図7より次式で与えられる。

$$\theta = \theta_T - \theta_Q \quad \dots \dots \dots (7)$$

これら γ と θ を求める表1のようになる。

表1 頂板のせん断角と回転角

モデル	$\gamma \times 10^{-3}$ rad.	$\theta \times 10^{-3}$ rad.	備考
I	0.86	0.57	橋軸方向
II	0.41	0.54	"

表1から明らかなように頂板の剛性を大(モデルII)にすれば γ は著しく減少する。とくに水平曲げ剛性の効果が著しい($I_{y2}/I_{y1}=2.6$, $\gamma_1/\gamma_2=2.1$)。

3.3. 多柱基礎の等価ねじり剛性

多柱基礎の等価ねじり剛性は図10に示すように頂板剛性(特に $E I_y$)を大きくすれば大になる(J_0 は柱1本当たりの断面2次極モーメント)。しかし飽和が早い。原形のように $I_{yo} \approx I_{xo}$ ならば柱9本分のねじり剛性の約1.9倍で、頂板剛性をこれ以上大にしても効果がないことがわかる。

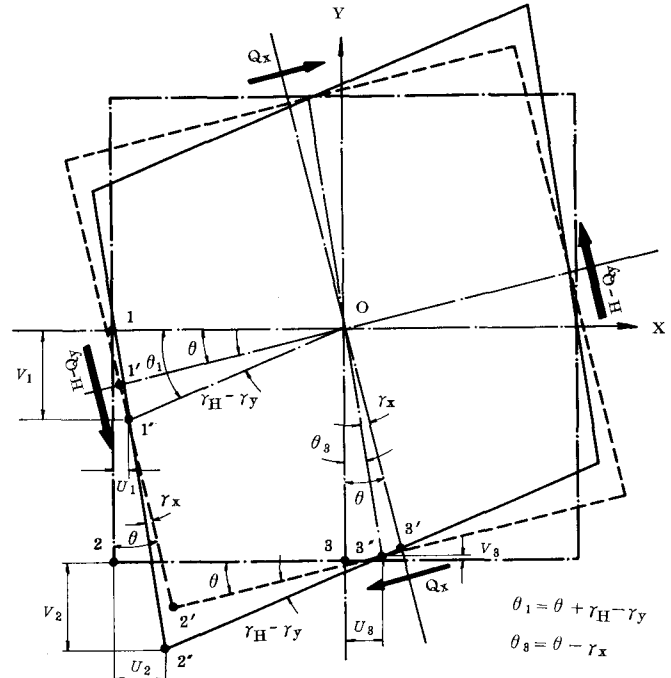


図9 水平逆対称載荷による頂板の水平面内の変形状態

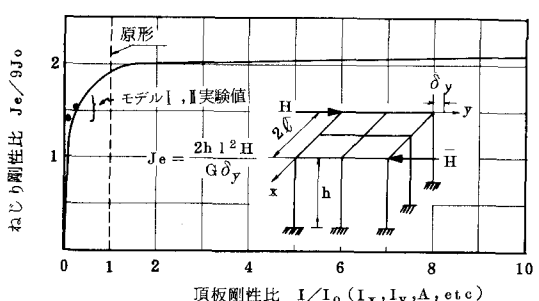


図10 等価ねじり剛性と頂板剛性